

Министерство образования Российской Федерации

Томский государственный университет

Томская горнодобывающая компания

# ПЕТРОЛОГИЯ МАГМАТИЧЕСКИХ И МЕТАМОРФИЧЕСКИХ КОМПЛЕКСОВ

*Выпуск 2*

*Материалы научной конференции,  
посвященной 80-летию со дня рождения  
профессора Михаила Петровича Кортусова*

*Томск, 28-30 ноября 2001 года*

Томск 2001

ных метасоматитов и их геохимические особенности // Докл. АН СССР, 1989, т. 307, № 4. С. 971-975.

Собаченко В.Н., Смирнова Е.В. К геохимии лантаноидов в приразломных метасоматических процессах, проявленных в докембрийских комплексах пород юга Восточной Сибири // Геохимия, 1996, №6. С. 529-537.

Собаченко В.Н., Сандимирова Г.П., Исакова Л.В., Пахольченко Ю.А. Рубидий-стронциевое датирование процессов метасоматоза, проявленных в зоне

Бирюсинского разлома Восточного Саяна // Докл. РАН, 1998. Т. 301, №2. С. 252-255.

Таусон Л.В. Геохимические типы и потенциальная рудоносность гранитоидов. М., Наука, 1977. 279 с.

Pearce J.A., Tindle N.W., Harris A.G. Trace element Distribution Diagrams for the Tectonic Interpretation of granitic rock s// J. Petrol. 1984, V.25, № 4. P. 956-983.

Turekian K. K. and Wedepohl K. H. Distribution of the elements in some major units of the earth's crust // Bull., Geol. Soc., of Amer. V. Z, 1961, № 2.

## Геология дислокационно-метаморфического пояса Южного Приаргунья (Восточное Забайкалье)

С.В. МАКСИКОВ

Томский государственный университет, г. Томск

Изучаемый район расположен в Юго-Восточном Забайкалье в пределах Кличкинского хребта в междуречье рек Верхняя Борзя и Урулонгуй. В геологическом отношении он входит в состав Аргунской зоны Монголо-Охотской складчатой области (Анашкина и др., 1997) и представляет собой краевую часть Урулонгуйского массива, сложенного докембрийскими и раннепалеозойскими породами, испытавшего наложенную позднемезозойскую активизацию. Древние стратифицированные образования в изучаемом районе представлены даурской серией, включающей (снизу вверх): урулонгуйскую, нортуйскую и быркинскую среднерифейские свиты. В виде небольших выходов присутствуют цаган-оловская свита венского возраста и быстринская свита раннего

кембрия. Позднее из состава даурской серии на основе биостратиграфических данных была выделена быркинская серия венского возраста, включающая в себя (снизу вверх) карбонатную нортуйскую, грубообломочную колортутуйскую, вулканогенно-черносланцевую кличкинскую и светлосланцевую белетуйскую свиты (Государственная геологическая..., 1999). Остальные стратифицированные толщи представлены мезозойскими - нижне-среднедворскими и нижнемеловыми отложениями в обрамлении Кличкинского хребта. Магматические образования представлены несколькими комплексами гранитоидов от среднерифейского до юрского возраста включительно, а также среднерифейскими габброидами и телами от основного до кислого состава в породах быркинской свиты - так называемый быркинский силловодайковый комплекс (Озерский А.Ф. и др., 1995). По другим данным (Государственная геологическая..., 1999) возраст силловодайкового комплекса определяется как вендр-раннепалеозойский.

В районе находятся месторождения полиметаллов и флюорита, часть которых приурочена к площади распространения стратифицированных толщ рифея - венда. Осадочные породы характеризуются повышенными содержаниями (в несколько раз выше клярковых) таких элементов как; бор, иттрий, итербий, лантан, фольфрам, олово, молибден, свинец, цинк, серебро, кадмий, гафний, цирконий, стронций. Особенно обогащены этими элементами черные углистые сланцы, поэтому не исключена возможность формирования части месторождений за счет извлечения полезных компонентов из вмещающих пород.

Летом 2000 года автор в составе тематического отряда Тургинской партии участвовал в работах по изучению состава и внутреннего строения пород, выделяемых в быркинскую (кличкинскую) свиту. Задачей яв-



Рис. 1. Схема расположения изученного района (заштрихованный прямоугольник).

лялась проверка предположения И.Г. Рутштейна о том, что часть быркинской свиты представлена динамометаморфическими образованиями. Среди пород быркинской свиты имеются черные углеродистые сланцы, часть которых может представлять тектониты. Породы интенсивно дислоцированы, так что внутренняя структура толщи не всегда расшифровывается. Дислокированность пород отмечается практически всеми исследователями, проводившими изучение данной территории. Возраст свиты основывается, на находках единичных микрофоссилий, имеющих достаточно широкий возрастной диапазон, по взаимоотношению с другими стратифицированными образованиями, также не совсем точно определенного возраста и по прорыванию Уртуйским массивом ( $Rb-Sr$  метод - 716-791 млн. лет и  $U-Pb$  метод - 750 млн. лет) урулюнгуйской свиты (Анашкина и др., 1997).

Изучение пород проводилось в виде детального карттирования с отбором проб на геохимию и изотопный состав углерода. В сообщении приведены результаты первичной обработки полученных результатов, без привлечения аналитических данных.

Изучались стратотипические разрезы быркинской свиты и участки ее максимального распространения - падь Большой Колторотуй, район пади Тусуркай (г. Мудутуй). Кличкинское рудное поле, а также ряд участков по левому и правому борту рр. Талман-Борзя и Верхняя Борзя. Быркинская свита представляет собой четко-слоистую вулканогенно-карбонатно-терригенную толщу с высоким содержанием углеродистого вещества в отдельных пачках и прослоях. Свита содержит тела основного-ультаосновного состава (базальты, пикриты), в основной своей массе превращенные в альбит-актинолит-хлоритовые сланцы (Анашкина и др., 1997). Ориентировка тел совпадает с ориентировкой складчатых структур, но отмечается также и срезание литологических границ магматическими образованиями (Озерский и др., 1987). По долине р. Верхняя Борзя проходит крупное разрывное нарушение, фиксирующееся на правобережье выходами углистых сланцев, скорее всего, тектонического происхождения. Данное нарушение является долгоживущим и разделяет разнородные в тектоническом плане блоки - Урулюнгуйский от Алгачи-Кутомарской подзоны Газимурской зоны (Государственная геологическая..., 1999).

При изучении разрезов пади Большой Колторотуй предварительно устанавливается надвиговое строение толщ. Осадочные породы, представленные известняками, углистыми сланцами и зелеными сланцами надвинуты в западном направлении на гранитоиды Кличкинского хребта. Зеленые сланцы, скорее всего, сформированы по субсогласному телу основного состава, представлявшему собой в прошлом или силл, или базальтовый покров. Известняки данной толщи мраморизованы и образуют внутри пачки сложные дисгармоничные складки, имеющие падение осевых поверхностей в восточном направлении и субмеридионально ориентированные шарниры с

пологим ( $10-15^\circ$ ) погружением в северном и реже в южном направлениях. Мрамора содержат линзовидные тела гранитоидов, по длиной оси достигающие сорока метров, а в поперечнике до 5м. Хотя в приконтактовой с гранитами зоне известняки скарнированы, контакты между ними тектонические, а в поперечном сечении линз гранитоидов отмечаются тени давления, выполненные кварцем. Структурное положение осложняется наличием зон дробления и мильонитизации примерно северо-западной ориентировки, совпадающих с простиранием долины р. Верхняя Борзя. В некоторых случаях линейные зоны выполнены флюоритовой минерализацией.

Микроструктурный анализ кварца из гранитов, находящихся в виде линз среди мраморизованных известняков выявил следующее. Оптические оси кварца располагаются в виде пояса по большому кругу с двумя сильными максимумами, расположенными близко к сланцеватости во вмещающих породах ( $S_1$  - аз. пад.  $346^\circ$  угол пад.  $30^\circ$ ) (рис. 2). Ось вращения для данной ориентировки является петроструктурная ось  $b$  - аз. погр.  $334^\circ$ , угол погр.  $30^\circ$ , которая близка к ориентировке шарниров мелких складок, замеренных во вмещающих породах. Петроструктурная ось  $a$  совпадает с самым сильным максимумом - аз. погр.  $62^\circ$ , угол погр.  $7^\circ$ . Ось  $c$  - нормаль к  $S_1$  - аз. погр.  $168^\circ$ , угол погр.  $60^\circ$ . В самой гранитоидной линзе рассланцованный  $S_2$  имеет координаты - аз. пад.  $10^\circ$ , угол пад.  $30^\circ$ . Ориентировка оси  $A$  эллипсоида деформации для данной ориентировки - аз. погр.  $265^\circ$ , угол погр.  $5^\circ$ . Пересечение плоскостей  $S_1$  и  $S_2$  также дает

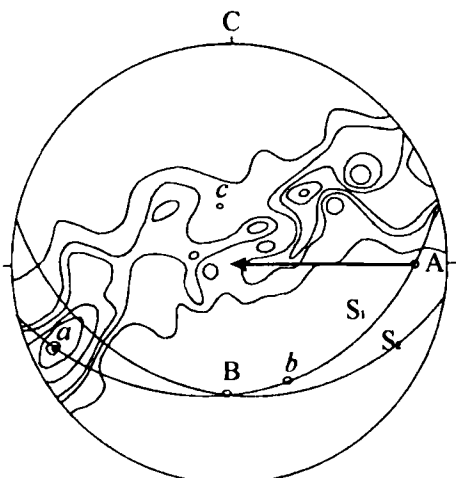


Рис. 2. Диаграмма ориентировки оптических осей кварца в катаклазите мелкозернистого гранита.

Обр. 10/00. Левый борт пади Колторотуй. 100 замеров оптических осей. Сетка Вульфа, проекция с верхней полусферой. Изолинии проведены через 1-2-3-5-7-9% на 1%площади.  $S_1$  - сланцеватость во вмещающих породах.  $S_2$  - сланцеватость в гранитоидной линзе. а, б, с - петроструктурные оси, расположенные близко к одноименным осям эллипсоида деформации А, В, С. Стрелкой показано направление относительного смещения для висячего крыла.

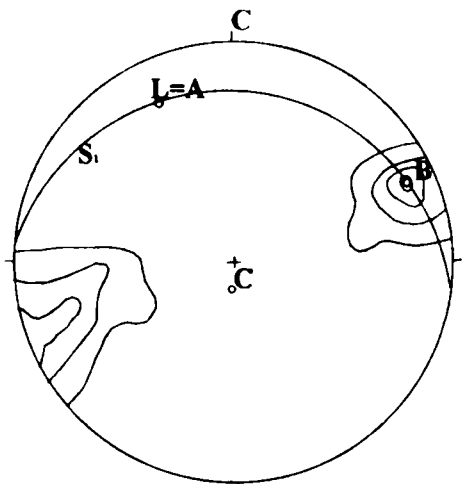


Рис. 3. Диаграмма ориентировки оптических осей кварца в очковом бластомилоните гранита.

Обр. 11/00. Верховые пади Колторотуй. 100 замеров оптических осей. Сетка Вульфа, проекция с верхней полусферы. Изолинии проведены через 5-10-15-20% на 1% площади. I.=A агрегатная линейность, совпадающая с петроструктурной осью а. В. С - петроструктурные оси, совпадающие с одноименными осями эллипсоида деформации. S<sub>1</sub> - сланцеватость в гранитах.

положение оси В эллипсоида деформации (аз погр. 359°, угол погр. 30°) и структуру S-C тектонита. Если за основную плоскость сдвига (S-структура) считать сланцеватость во вмещающих породах, а C-структурой - рассланцованнысть в гранитоидной линзе, то получается очень пологий сброс в западном направлении. Ось б также совпадает с ориентировкой шарниров складок надвигания в мраморах в приконтактовой с Кличкинским массивом зоне. Линзы гранитоидов в мраморах своей длинной осью ориентированы согласно с осью б.

Микроструктурный анализ кварца бластомилонита гранита из краевой части Кличкинского массива показал следующее. Оптические оси кварца образуют одномаксимумную ориентировку (рис. 3). Центр максимума совпадает с петроструктурной осью б - аз. погр. 246°, угол погр. 8°. Петроструктурная ось а совпадает с агрегатной линейностью, имеющей координаты - аз. погр. 156°, угол. погр. 14°. Петроструктурная ось с - аз. погр. 6°, угол. погр. 76° - нормаль к плоскости S<sub>1</sub>. Аналогичная ориентировка встречена в тектонитах по борщовочным гранитам в юго-восточном контакте одноименного массива. В бластомилоните отмечаются и S-C структуры, представленные вытянутыми кварцевыми зернами с зубчатыми границами, образовавшимися при пластической деформации - S-структура. Полосы тонкораздробленного кварци-полевошпатового агрегата, образование которых происходило в более приповерхностных условиях, в режиме близком к хрупкому дроблению - C-структура. Данные S-C структуры указывают на пологое надвигание в гранитах в С-С-З направлении.

В быркинской свите повсеместно отмечаются мелкие (амплитудой в первые сантиметры) флексу-рообразные складочки с ориентировкой шарниров - азимут погружения -350-360°, с углом погружения 10-15°. Формирование данных складок связано с левосторонним сдвигом по границе с Урулонгуйским блоком.

Различие в ориентировке действующих сил, в гранитоидах и во вмещающих породах, скорее всего, объясняется разновременностью формирования структур. Ранней ориентировкой, является ориентировка в виде большого пояса во вмещающих породах, а более поздней - одномаксимумная в гранитах.

Следующий участок - район пади Тусуркай. Слагающие его породы, представлены быркинской (кличкинской) свитой - это преимущественно в той или иной степени рассланцованные терригенно-осадочные породы, представленные песчаниками, алевролитами с прослоями известняков. Среди осадочных пород залегают согласные, очень сильно рассланцованные тела основного состава (зеленые сланцы) и среднего состава (трахиты). В нескольких местах тела основного состава образуют небольшие массивы габбро-диоритового состава линзовидной формы. Своим удлинением они субсогласны с простиранием сланцеватости во вмещающих породах. Изучаемый участок в структурном отношении представлен несколькими разнородными блоками, отличающимися составом пород, степенью и формой дислокаций.

Первый (северный) блок характеризуется присутствием среди углистых сланцев тел основного-среднего состава (габбро-диориты), часто имеющих тонкозернистую внешнюю зону. Данные породы слагают на дневной поверхности отдельные линзовидные тела, длинной осью совпадающие со сланцеватостью во вмещающих породах (район отметки 895,1 м). Среди углистых сланцев отмечаются диафториты по породам среднего состава.

Второй (восточный) блок представлен, в основном, песчаниками с телами габбро-диоритов. Часто у последних отмечается тонкозернистая приконтактовая зона. В делювии наблюдается чередование габроидов и черных сланцев, встречаются деформированные обломки габбро-диоритов, а иногда в контакте с ними отмечаются зеленые сланцы мощностью до 130 метров, чаще 30-40 метров. Что может говорить об их тектоническом преобразовании. Черносланцевые породы развиты в южной части. Предварительно (по разрезу) устанавливается складчатое строение (рис. 4) изучаемой толщи. Шарниры складок имеют северо-восточное простижение и погодие (10-15°) углы погружения. Углы между крыльями около 70°. В ядерных частях антиклинальные складки сложены песчаниками.

Третий (западный) участок характеризуется чередованием в разрезе маломощных прослоев карбонатов, филлонитов, скорее всего, образованных по песчанистым породам, а также редких прослоев актинолитовых сланцев, образовавшихся по вулканитам ос-



Рис. 4. Схематический геологический разрез по второму участку.

новного состава. Все они в той или иной степени подверглись динамометаморфизму и воздействию гранитоидов Кличкинского массива. Падение пород преимущественно в южных румбах от юго-западного до юго-восточного под углами - 20-70°, редко до 90°. В строении толщ предварительно устанавливается сдвиживание разреза или же присутствие крупной синклинальной складки (рис. 5) с круто (65°) погружающимся на северо-восток шарниром. В южной части породы характеризуются сложной тектонической структурой, не исключено наличие изоклинальной складчатости.

В целом по изученному участку следует отметить, что породы, прослеживаемые по каждому из блоков, не совпадают с соседними ни по простирианию, ни по характеру внутреннего строения. Скорее всего, блоки представляют собой части одного стратиграфического разреза, тектонически надвинутые друг на друга. Более мелководные и грубозернистые породы (2-ой и 3-ий блоки) надвинуты на более глубоководные и мелкозернистые (1-ый блок).

В изученных участках исходный состав пород

быркинской (кличкинской) свиты часто вполне определим. Исключение составляют зоны северо-западного простириания, в том числе и по р. Верхняя Борзя к которым приурочены зоны милонитов с наложенной углеродизацией. Образование данных зон, скорее всего, связано с левосторонним сдвигом по границе Урулунгуйского массива, причем формирование складчатых структур происходило примерно в той же динамической ориентировке, но при других Р-Т условиях. Время формирования описанных деформаций предварительно определяется как раннекаменноугольное и совпадает по времени с замыканием Монголо-Охотского складчатого комплекса. Основано это на следующих данных: Время формирования гранитоидов от ранней перми до поздней юры, но есть и более ранние. Граниты Кличкинского массива прорывают и метаморфизуют складчатые толщи, но сами гранитоиды деформированы меньше. В краевых частях Кличкинский массив тектонизирован с образованием бластомилонитов, сходных с аналогичными в Борщевочном хребте. Образова-

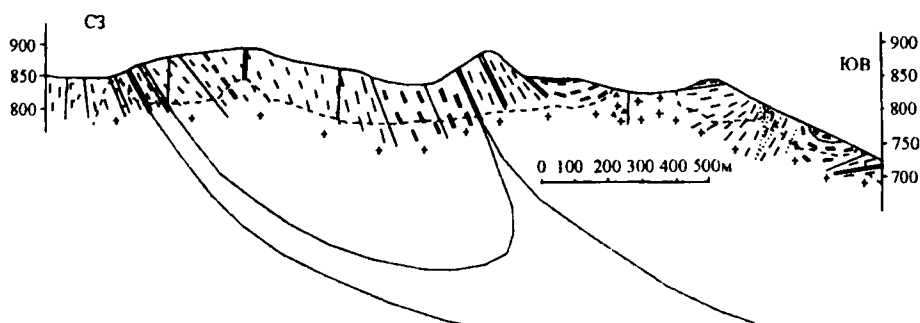


Рис. 5. Схематический геологический разрез по третьему участку.

Условные обозначения - см. рис. 4. Пунктиром показано предполагаемое складчатое или надвиговое строение, а также вероятное расположение кровли Кличкинского гранитоидного массива. Вертикальные линии - дайки гранит-аплитов и микродиоритов.

ние массива в поздней юре-раннем мелу проходило по типу гранито-гнейсовых куполов.

В заключении предварительно можно сказать, что история формирования складчатости позднепротерозойских толщ и формирования тектонитов выглядит следующим образом. В раннем карбоне при замыкании Монголо-Охотского складчатого пояса происходит формирование складок надвигания при левостороннем сдвиге в позднепротерозойских вулканогенно-осадочных толщах в краевой части Уралунгуйского массива. Позже, возможно в перми, формируются гранитоиды Кличкинского массива, которые в юре "омолаживаются" в связи с тектономагматической активизацией и далее развиваются по типу гранито-гнейсовых куполов. В поздней юре - раннем мелу происходят тектонические подвижки, приведшие к формированию зон тектонитов - углистых сланцев северо-западного профиля. Часть из них явилась рудовмещающей для флюоритовой минерализации.

## Литература

Геологическое строение Читинской области. Объяснительная записка к геологической карте масштаба 1:500000. (Авт.: Анашкина К.К., Бутин К.С., Еникеев Ф.И. и др.). Чита, 1997. 239с.

Геологическое строение и полезные ископаемые листа М-50-XVII. Отчет Уралунгуйской партии о результатах геологического доисследования площади масштаба 1:200 000, проведенного в 1984-1987 гг. - Чита, кн.1., 1987. 255с. (Авт.: Озерский А.Ф. и др.).

Геологическое строение и полезные ископаемые листов М-50-V, XI, XII, XVIII, XVIII, M-50-I. Масштаб 1:200 000. Отчет Приаргунской партии по ГДП-200 за 1988/199-5 гг.- Чита, кн. I., 1995. 296с. (Авт.: Озерский А.Ф., Кривицкий А.В., Шивохин Е.А. и др.).

Государственная геологическая карта Российской Федерации. Масштаб 1:1000 000 (новая серия). Лист М-(50), (51) - Приаргунск. Объяснительная записка/ Редакторы В.В.Павлова, В.В.Терновой. - СПб., Издво ВСЕГЕИ, 1999. 238с.

## Особенности высокотемпературного метаморфизма хромитов альпинотипных массивов Урала, приводящего к повышению качества руд

И.А. МАЛАХОВ

*Институт геологии и геофизики УГГГА, Екатеринбург*

За последнее время нами было получено много принципиально новых данных о весьма существенном, а иногда и определяющем влиянии геодинамики становления и последующего преобразования ультрамафитов различной формационной принадлежности и ассоциирующих с ними хромитов, а также о сложности процессов формирования содержащихся в них акцессорных и рудообразующих хромшпинелидов. Принято считать, что хромистые шпинели содержатся лишь в ультраосновных породах. На самом деле их распространение шире. В частности, они могут встречаться в ранних оливиновых вкрапленниках в базальтах (White, 1971) и в молодых вулканитах Камчатки.

Согласно современным представлениям относительно генезиса ультрамафитов, суммированных П.Уайли (Wyllie, 1969), из пяти основных генетических групп ультрамафитов лишь три – ультрамафиты расслоенных интрузий, альпинотипные и концентрически-зональные, есть все основания рассматривать в качестве хромигнонсных. При этом становление расслоенных интрузий - типа Бушвельда в ЮАР или Сарановских на западном склоне Урала проходило при явно преобладании процессов магматической дифференциации с образованием хромито-

вых пластов в нижней части камер. Последующий их метаморфизм проявлялся в минимальных масштабах и в основном связан с процессами перекристаллизации изначально мелкозернистых рудных индивидов, слабо влияющих на их изначальный химический состав.

Как отмечал Т.П.Тайер (1971), для хромшпинелидов из руд расслоенных массивов характерно более высокое содержание  $Fe_2O_3$ , что определяется их формированием в пределах земной коры на умеренных глубинах. Однако, судя по нашим исследованиям, содержание в хромшпинелидах двух- и трехвалентного железа существенно меньше, чем в акцессорных и рудообразующих хромшпинелидах из концентрически-зональных массивов Платиноносного пояса Урала, принадлежащих к дунит-клинопироксенитовой формации.

Одной из характерных особенностей ультрамафитов и хромититов из расслоенных массивов является наличие явлений зональности ряда элементов в составе содержащихся в них акцессорных и рудообразующих хромшпинелидов. Так по данным О.К.Иванова (1977) в акцессорных хромшпинелидах Сарановских массивов наблюдается увеличение вверх по